

К ВОПРОСУ О ТЕПЛОПРОВОДНОСТИ ПОРИСТЫХ МАТЕРИАЛОВ

Г. М. СЕРЫХ

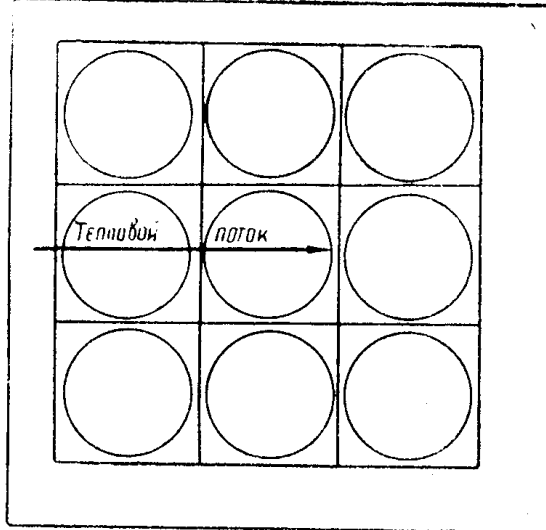
Представлено профессором-доктором ФУКС Г. И.

Одним из важных критериев пригодности строительных материалов являются теплофизические характеристики вообще и теплопроводность в частности.

Преобладающее большинство строительных и теплоизоляционных материалов имеет пористое строение. Форма пор чаще всего сферическая или близкая к ней. Наибольший размер поры может колебаться от долей миллиметра до нескольких сантиметров.

Вопросу изучения теплофизических характеристик пористых материалов посвящено значительное количество работ: Б. Н. Кауфмана [1], А. Ф. Чудновского [2], А. У. Франчука [3], Д. Л. Тимрода [4], Каммерера [5], Кингери [6], и ряд других. Другая часть работ: Максвелла [7], Руссель [8], Эйкена [9], Старостина [10], Иванцова [11], Давидсона [12], Лоубэ [13], Рибо [14] и др., посвящена аналитическому решению задачи распространения тепла в пористом теле.

Авторы последних работ исходят из представлений Максвелла о пористом теле, как о совокупности проводимостей и сопротивлений. Например, Руссель и Эйкен рассматривают пористое тело как особый вид структуры, в основе которой лежит кубическая укладка. Рассматриваемое тело разбивается на элементарные кубы, имеющие внутри поры сферической формы, заполненные воздухом (фиг. 1). В результате рассмотрения этой схемы и соответствующих математических расчетов Руссель дает зависимость:



Фиг. 1

$$\frac{\lambda_{\text{эфф}}}{\lambda_o} = \frac{m^{2/3} + \frac{\lambda_o}{\lambda_s} (1 - m^{2/3})}{m^{2/3} - m + \frac{\lambda_o}{\lambda_s} (1 - m^{2/3} + m)} \quad (1)$$

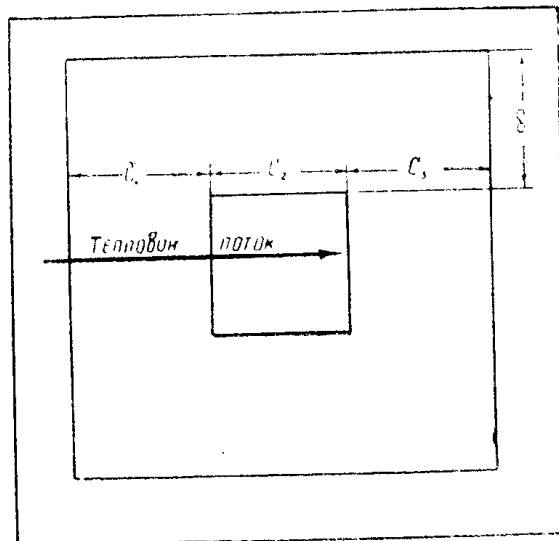
где m — пористость, λ_b — теплопроводность воздуха, λ_0 — теплопроводность остова, $\lambda_{\text{эфф}}$ — эффективная теплопроводность пористого материала.

Эйкен дает зависимость:

$$\frac{\lambda_{\text{эфф}}}{\lambda_0} = \frac{1 + 2m \frac{1 - \frac{\lambda_0}{\lambda_b}}{2 \frac{\lambda_0}{\lambda_b} + 1}}{1 - m \frac{1 - \frac{\lambda_0}{\lambda_b}}{2 \frac{\lambda_0}{\lambda_b} + 1}} \quad (2)$$

Ф. Д. Старостин заменяет массу пор в единице объема одной порой, помещенной внутри единицы объема (фиг. 2). Затем, подсчитывая проводимость участков c_1 , c_2 , c_3 , он находит эффективный коэффициент теплопроводности по формуле:

$$\lambda_{\text{эфф}} = \frac{\lambda_0^2 m^{2/3} + (\lambda_b - \lambda_0) \lambda_b}{\lambda_0 + (m^{2/3} - m)(\lambda_b - \lambda_0)} \quad (3)$$



Фиг. 2

элементарные трубы по направлению параллельному направлению теплового потока (фиг. 3). Часть трубок включает в себя поры, часть проходит между порами. Трубки, включающие поры, содержат некоторое число чередующихся областей с различной проводимостью. Пренебрегая ролью конвекции и считая, что эффективная теплопроводность определяется только теплопроводностью и излучением, Лоубэ вычисляет эффективную теплопроводность трубки, а затем, переходя ко всему пористому материалу, получает выражение:

$$\frac{\lambda_{\text{эфф}}}{\lambda_0} = (1 - m_{\text{пл}}) + \frac{m_{\text{пл}}}{\frac{1}{\lambda_0} (1 - \sum l_n) + \frac{\sum l_n \lambda_0}{4 \gamma_z e \sigma_0 d T_o^3}}, \quad (4)$$

где: $m_{\text{пл}}$ — плоская пористость, $\sum l_n$ — часть длины трубки, занятая порами, λ_0 — коэффициент теплопроводности основного материала образца, γ_z — геометрический фактор; для щелевых и цилиндрических пор с

Это выражение можно привести к формуле Русселя, разделив числитель и знаменатель правой части на λ_b .

Недостатком этого типа схем является то, что в них не учитывается конвекция и лучистая теплопередача (Эйкен и Старостин). Недопустимым также является замена мелких пор одной большой (Старостин), так как это нарушает физическую картину распространения тепла в пористом теле.

Шагом вперед в этом процессе является теория Лоубэ, по которой пористое тело с равномерно распределенной пористостью разбивается на

сями, параллельными тепловому потоку $\gamma_s = 1$, перпендикулярными тепловому потоку $\gamma_e = \frac{\pi}{4}$ для сферических пор $\gamma_e = 1$, d — наибольший размер щели в направлении теплового потока, e — поправка на серость радиирующей поверхности, T_0 — средняя температура поры в градусах, σ_0 — постоянная для абсолютного черного тела.

Формула Лоубэ дает удовлетворительную сходимость с экспериментальными данными для тел с порами диаметром не более 3 мм. Объясняется это тем, что она не учитывает конвекции в порах и искривление теплового потока при огибании пор. Большие затруднения вызывает подсчет Σl_n .

Следует указать также на интересную зависимость, полученную Рибо. Рибо рассматривает пористое тело, как некоторый материал с равномерно-включенными порами кубической формы. Выделив в таком материале куб, размером $(S_1 + S_2)^3$ (см. фиг. 4) и считая тепловой поток прямолинейным, Рибо пишет уравнение для участка с площадью поперечного сечения $(S_1 + S_2)^2$:

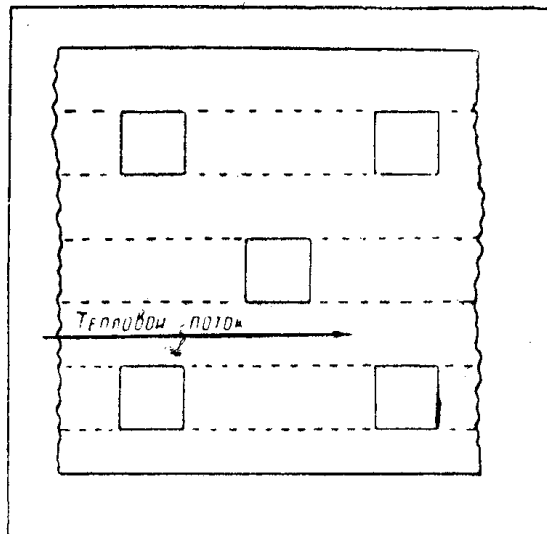
$$Q = \frac{S_1}{S_1 + S_2} \lambda_s \frac{T_1 - T_2}{e} + \frac{S_2}{S_1 + S_2} \frac{\lambda_o(T_1 - T_2)}{e_1 + e'}. \quad (5)$$

Из него выводят зависимость:

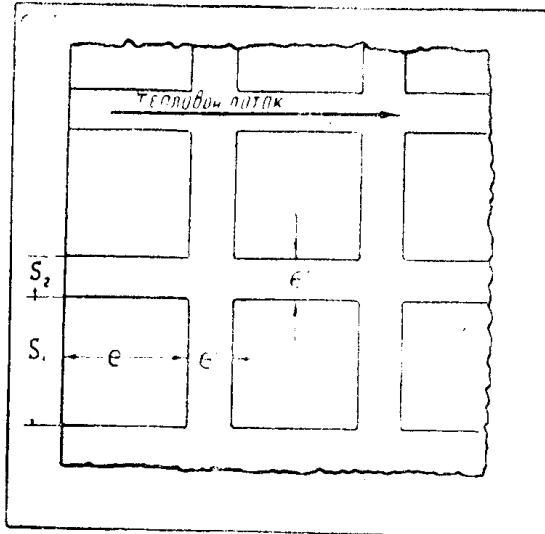
$$\lambda_{\text{eff}} = \lambda_s m^{1/3} + \lambda_o(1 - m^{1/3}) \quad (6)$$

Кроме недостатков, аналогичных предыдущим формулам, уравнение Рибо, как это видно из исходного выражения, не учитывает термического сопротивления участка площадью S_1 , и длиной e' .

Как показывают проведенные исследования, распространение тепла в пористом теле представляет собой сложный процесс. Часть тепла передается через остов основного материала, часть — через поры. При небольшом перепаде температур в порах, размером менее 5 мм [15], [16], [17], основная часть тепла будет передаваться через материал остова. Тепловой поток в большей части будет огибать поры. В самих порах тепло будет передаваться за счет теплопроводности и радиации. По мере увеличения размеров пор доля передачи тепла в них увеличится за счет увеличения радиации и возникновения конвекции.



Фиг. 3



Фиг. 4

Если теплопроводность материала остова мала, то можно представить себе случай, когда эффективный коэффициент теплопроводности поры будет примерно равен коэффициенту теплопроводности основного материала. В этом случае температурное поле в целом можно считать одномерным. Рассмотрим этот простейший случай.

Постановка задачи. Имеем пористое тело в виде неограниченной пластины толщиной δ . Размер средней поры более 5 мм [15:-18]. Температура левой стенки T_1 , правой — T_2 . Температурное поле одномерное. Линии тока тепла — параллельные прямые. (См. фиг. 5). Материал абсолютно сухой.

Вырежем в пористом поле трубку с площадью поперечного сечения ΔF . Вдоль трубы, через все сечения, перпендикулярные ее оси, будет передаваться количество тепла ΔQ_n . Часть тепла, проходящего через площадку ΔF_n , будет передаваться теплопроводностью, конвекцией и радиацией. Часть тепла, проходящая через площадку ΔF_o , будет передаваться только теплопроводностью. Поэтому:

$$\Delta Q_n = \left\{ \frac{\lambda_{yc, \alpha}^k}{l_{n_i}} + \frac{c \left[\left(\frac{T_1'}{100} \right)^4 - \left(\frac{T_1}{100} \right)^4 \right]}{T_1 - T_1'} \right\} (T_1 - T_1') \Delta F_n' + \frac{\lambda_o}{l_{n_i}} (T_1 - T_1')$$
(7)

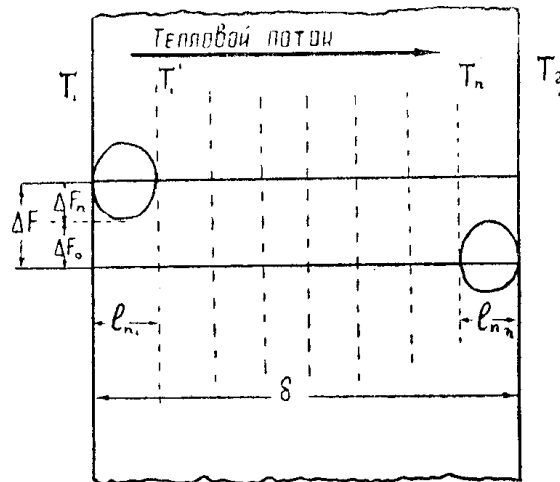
$$\Delta Q_n = \left\{ \frac{\lambda_{yc, \alpha}^{(n)k}}{l_{nn}} + \frac{C \left[\left(\frac{T_n'}{100} \right)^4 - \left(\frac{T_2}{100} \right)^4 \right]}{T_n' - T_2} \right\} (T_n' - T_2) \Delta F_n^n + \frac{\lambda_o}{l_{nn}} \Delta F_o^n (T_n' - T_2).$$

Обозначив вторые члены фигурных скобок через $\frac{\lambda_{yc, \alpha}^{1, \alpha}}{l_{ni}}$, можем записать:

$$\Delta Q_n = \left(\frac{\lambda_{yc, \alpha}^{1k}}{l_{n_i}} + \frac{\lambda_{yc, \alpha}^{1, \alpha}}{l_{n_i}} \right) (T_1 - T_1') \Delta F_n' + \frac{\lambda_o}{l_{n_i}} \Delta F_o^n (T_1 - T_1')$$
(8)

$$\Delta Q_n = \left(\frac{\lambda_{yc, \alpha}^{(n)k}}{l_{nn}} + \frac{\lambda_{yc, \alpha}^{(n), \alpha}}{l_{nn}} \right) (T_n' - T_2) \Delta F_n^n + \frac{\lambda_o}{l_{nn}} \Delta F_o^n (T_n' - T_2)$$

Здесь: $\lambda_{yc, \alpha}^k$ — условный коэффициент теплопроводности, учитывающий передачу тепла в поре теплопроводностью и конвекцией; $\lambda_{yc, \alpha}^1$ — условный коэффициент теплопроводности, учитывающий передачу тепла в поре лучеиспусканием; λ_o — коэффициент теплопроводности остова; ΔF — часть площади поперечного сечения элементарной трубы, проходящей через пору; ΔF_o — часть площади поперечного сечения элементарной



Фиг. 5

трубки, проходящей через материал остова; t_n — длина отдельных участков трубы; T — абсолютные температуры.

Решив равенства (8) относительно разности температур, имеем:

$$T_1 - T'_1 = \frac{\Delta Q_n l_{n_1}}{(\lambda_{yc,a}^{1,\kappa} + \lambda_{yc,a}^{1,o})\Delta F_n^1 + \lambda_o \Delta F_o'} \quad (9)$$

$$T'_n - T_2 = \frac{\Delta Q_n l_{n_n}}{(\lambda_{vcA}^{(n)K} + \lambda_{vcA}^{(n),I})\Delta F_n^n + \lambda_o \Delta F_o^n}$$

Складывая почленно уравнения (9), получаем:

$$T_1 - T_2 = \Delta Q_n \left[\frac{\delta}{(\lambda_{yc,1,cp}^n + \lambda_{yc,1,cn}^n) \Delta F_n^{cp} + \lambda_o \Delta F_o^{cp}} \right], \quad (10)$$

где $\hat{\delta} = \sum_{i=1}^n l_i$, ΔF_n^{cp} и ΔF_o^{cp} — средние значения площадей ΔF_n и ΔF_o , а $\lambda_{\text{усл.ср.}}^k$ и $\lambda_{\text{усл.ср.}}^\lambda$ — средние значения $\lambda_{\text{усл.}}^k$ и $\lambda_{\text{усл.}}^\lambda$.

Из (10) имеем:

$$\Delta Q_n = \frac{(T_1 - T_2) [(\lambda_{yc,a,cp.}^\kappa + \lambda_{yc,a,cp.}^A) \Delta F_n^{cp} + \lambda_o \Delta F_o^{cp}]}{\hat{\delta}} \quad (11)$$

Складывая элементарные потоки, проходящие через все площади ΔF , будем иметь:

$$Q_n = \frac{(T_1 - T_2) [(\lambda_{ycs.cp.}^\kappa + \lambda_{ycs.cp.}^o) F_n^{cp} + \lambda_o F_o^{cp}]}{\delta} \quad (12)$$

Выражение для Q_n можно записать также в виде:

$$Q_n = \frac{\lambda_{\text{eff}}(T_1 - T_2)F}{\delta}. \quad (13)$$

Если бы образец не имел пор, то передавалось бы тепло

$$Q_o = \frac{\lambda_o(T_1 - T_2)F}{\delta} \quad (14)$$

Из (12), (13) и (14) получаем:

$$\Lambda = \frac{\lambda_{\text{eff}}}{\lambda_o} = \frac{(\lambda_{\text{ycl},cp.}^{\kappa} + \lambda_{\text{ycl},cp.}^{\alpha})F_n^{cp} + \lambda_o F_o^{cp}}{\lambda_o F} \quad (15)$$

ИЛИ

$$\Lambda = \frac{(\lambda_{yca.cp.}^{\kappa} + \lambda_{yca.cp.}^{\pi})m_{n\alpha}}{\lambda_c} - (1 - m_{n\alpha}) \quad (16)$$

где $m_{n\perp}$ — плоская пористость, равная $\frac{F_n^{cp}}{F_c}$

и (16) можно переписать так:

Введем обозначение $\frac{\lambda^k}{\text{усл.ср.}} = F$, где F — коэффициент конвекции.

Известно, что $E = f(S, B)$.

$$E = f(C, R) \quad (12)$$

следовательно

$$\lambda_{y_{cl, cp}}^{\kappa} = f(Cr \cdot Pr)^{1/8}. \quad (19)$$

Как показали опыты Бояринцева, Краусольда и др. [15, 18], при малых значениях аргумента $(Cr \cdot Pr) < 1000$ $E_{\kappa} = 1$, т. е. передача тепла в порах идет только теплопроводностью и радиацией. Вообще

$$E_{\kappa} = K(Cr \cdot Pr)_f^n \quad (20)$$

Введем обозначения:

$$\frac{C \left[\left(\frac{T'_{icp}}{100} \right)^4 - \left(\frac{T'_{(i-1)cp}}{100} \right)^4 \right]}{(T_{icp} - T_{(i-1)cp}) \delta_o} = Ki, \quad (21)$$

где K_i — критерий Кирпичева.

Разность $(T_{icp} - T_{(i-1)cp})$ можно определить следующим приемом. Если взять среднее значение d_n , $\lambda_{y_{cl, cp}}^{\kappa}$, $\lambda_{y_{cl, cp}}^{\alpha}$ по длине элементарной трубы, то уравнение (9) можно переписать так:

$$T_i - T_{(i-1)} = \Delta Q_n \frac{d_{n, cp.}}{(\lambda_{y_{cl, cp}}^{\kappa} + \lambda_{y_{cl, cp}}^{\alpha}) \Delta F_n^{cp} + \lambda_o \Delta F_o^{cp}}. \quad (22)$$

По (11):

$$\Delta Q_n = \frac{T_1 - T_2}{\delta} [(\lambda_{y_{cl, cp}}^{\kappa} + \lambda_{y_{cl, cp}}^{\alpha}) \Delta F_n^{cp} + \lambda_o \Delta F_o^{cp}] \quad (23)$$

Из (22) и (23) получается:

$$T'_i - T'_{(i-1)} = \frac{T_1 - T_2}{\delta} d_{cp}, \quad (24)$$

где T'_i и $T'_{(i-1)}$ — температуры на границах поры по направлению теплового потока.

В уравнение (16) входит плоская пористость, как отношение $\frac{F_n^{cp}}{F}$. Зависимость между плоской пористостью m_{pl} и объемной пористостью m может быть найдена из следующих рассуждений. Для сферических пор при кубической укладке:

$$m = \frac{V_{nop}}{V_{obp}} = \frac{\pi d^3 n^3}{6l^3}. \quad (25)$$

Для круглых плоских пор при укладке по квадратной сетке:

$$m_{pl} = \frac{F_n}{F} = \frac{\pi d^2 n^2}{12l^2}, \quad (26)$$

где: V_{nop} — объем всех пор, V_{obp} — объем всего пористого образца, d — диаметр поры, n — число пор в ряду, l — размер образца, F_n — площадь всех пор, F — площадь всего образца.

Очевидно, площадь одной плоской поры следует брать не по диаметральному сечению, а как среднеинтегральную площадь сечения сферы:

$$f_n = \frac{1}{d} \int_0^d \frac{\pi d^2}{4} dd \quad (27)$$

$$f_n = \frac{\pi d^2}{12} \quad (28)$$

Из (25):

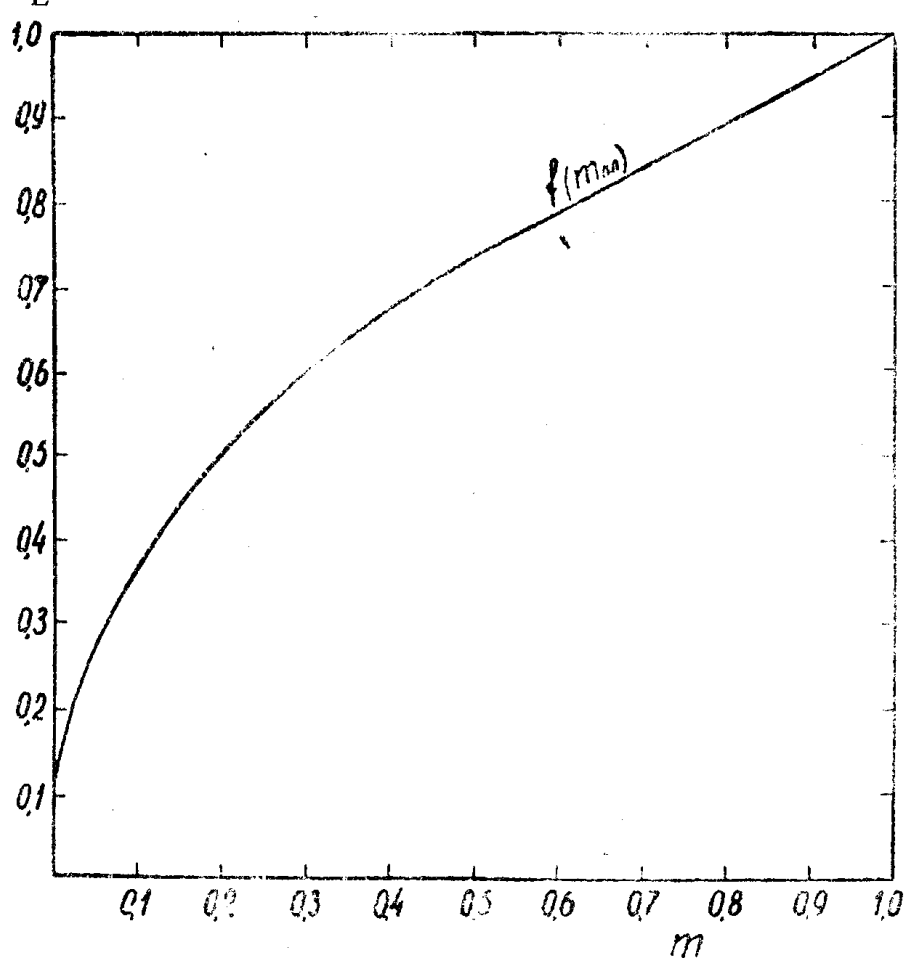
$$d \cdot n = l \sqrt[3]{\frac{6m}{\pi}} \quad (29)$$

Из (25), (26) и (28) получим:

$$m_{n, \lambda} = 0,4m^{2/3}. \quad (30)$$

Делая аналогичные вычисления для объемных пор кубической, а плоских квадратной, формы получим

$$m_{n, \lambda} = m^{2/3}. \quad (31)$$



Фиг. 6

Для пор цилиндрической формы с осями, направленными вдоль теплово-го потока:

$$m_{n, \lambda} = 0,92m^{2/3} \quad (32)$$

В общем виде:

$$m_{n, \lambda} = Lm^{2/3} \quad (33)$$

Как показали эксперименты, проведенные на плоской и объемной элек-трических моделях, коэффициент формы L зависит от пористости и из-меняется от 0 до 1 (см. фиг. 6).

Учитывая выражения (19), (20), (21) и (23), соотношение (16) мо-жем переписать в виде:

$$\Lambda = \left[\frac{\lambda_s}{\lambda_o} K(Cr \cdot Pr)_f^n + Ki \right] \cdot Lm^{2/3} + (1 - Lm^{2/3}) \quad (34)$$

или в размерном виде:

$$\lambda_{\text{ eff}} = (\lambda_{y_{\text{el}, \text{cp}}}^k + \lambda_{y_{\text{el}, \text{cp}}}^a) L m^{2/3} + \lambda_o (1 - L m^{2/3}). \quad (35)$$

Качественную сторону поставленной задачи можно исследовать на основе теории подобия. Если принять, что процесс распространения тепла в пористом теле стационарный, то он может быть описан следующими уравнениями.

Уравнение теплопроводности твердого тела:

$$a \left(\frac{\partial^2 T}{\partial x^2} + \frac{\partial^2 T}{\partial y^2} + \frac{\partial^2 T}{\partial z^2} \right) = 0. \quad (36)$$

Уравнение теплопроводности газа в порах:

$$\omega_x \frac{\partial T}{\partial x} + \omega_y \frac{\partial T}{\partial y} + \omega_z \frac{\partial T}{\partial z} = a \left(\frac{\partial^2 T}{\partial x^2} + \frac{\partial^2 T}{\partial y^2} + \frac{\partial^2 T}{\partial z^2} \right). \quad (37)$$

Уравнение теплообмена в порах:

$$\alpha_k \Delta T + C_o E_n \left[\left(\frac{T_1}{100} \right)^4 - \left(\frac{T_1'}{100} \right) \right] = \lambda_{\text{eff}} \frac{\partial T}{\partial x}. \quad (38)$$

Уравнение движения в порах:

$$\rho \left(\omega_x \frac{\partial \omega_x}{\partial x} + \omega_y \frac{\partial \omega_x}{\partial y} + \omega_z \frac{\partial \omega_x}{\partial z} \right) = \rho g_x - \frac{\partial p}{\partial x} + \mu \left(\frac{\partial^2 \omega_x}{\partial x^2} + \frac{\partial^2 \omega_x}{\partial y^2} + \frac{\partial^2 \omega_x}{\partial z^2} \right) \quad (39)$$

Аналогично записываются уравнения для осей y и z .
Здесь: α_k — коэффициент теплоотдачи, $E_n \cdot C_0 = C$ — коэффициент лу-
чеспускания, a — коэффициент температуропроводности, ρ — плотность.
 p — давление, μ — коэффициент вязкости.

Введя масштабные преобразования:

$$\begin{aligned} x &= x_* X, & \omega_x &= \omega_* W_x, & T &= T_* \Theta, & \lambda_{\text{eff}} &= \lambda_* \lambda, & p &= p_* P, \\ y &= y_* Y, & \omega_y &= \omega_* W_y, & \rho &= \rho_* P, & \alpha_k &= \alpha_* \alpha, & \mu &= \mu_* M, \\ z &= z_* Z, & \omega_z &= \omega_* W_z, & a &= a_* A, & g &= g_* G, & c &= c_* C, \end{aligned} \quad (40)$$

и подставив их в уравнения (36) — (39) получим, что:

$$\frac{\omega_* T_*}{x_*} = \frac{a_* T_*}{x_*^2}, \quad (41)$$

$$\alpha_* T_* = C_* T_*^4 = \lambda_* \frac{T_*}{x_*}, \quad (42)$$

$$\frac{\rho_* \omega_*^2}{x_*} = \rho_* g_* = \frac{p_*}{x_*} = \frac{\mu_* \omega_*}{x_*^2}, \quad (43)$$

Полагая

$$a_* = a_o, \quad \lambda_* = \lambda_o, \quad T_* = T_{cp}, \quad x_* = d_o \quad (44)$$

и учитывая выражение (29), получим:

$$W_x = Pe \cdot m, \quad X = \frac{x}{d_o}, \quad Y = \frac{y}{d_o}, \quad Z = \frac{z}{d_o}, \quad (45)$$

где d_o — расстояние между центрами двух пор при кубической укладке.

Критерий Пекле представим в виде:

$$m \cdot Pe = Re \cdot Pr \cdot m. \quad (46)$$

Из (42) первый и второй члены дают:

$$z_\kappa = B_i \cdot m; \quad \Lambda = \frac{\lambda_{\text{эфф}}}{\lambda_o} \quad \Theta = \frac{T}{T_{cp}}. \quad (47)$$

Второй и третий члены дают при условии (44):

$$C = \frac{g_{cp} \cdot d \sqrt[3]{\frac{\pi}{6m}}}{\lambda_o T_{cp}}, \quad (48)$$

где d диаметр поры,

или

$$C = Ki \cdot m.$$

Из (43)

$$G = Fr \quad (49)$$

Применяя критерий Галилея и умножая его на симплекс $\frac{\rho - \rho_0}{\rho}$, получим критерий Архимеда

$$Ca = Fr \cdot Re^2, \quad (50)$$

$$Ar = Ca \cdot \frac{\rho - \rho_0}{\rho}, \quad (51)$$

где ρ и ρ_0 плотности воздуха в двух точках поры. Так как разность плотностей жидкостей определяется разностью температуры ΔT , то

$$\frac{\rho - \rho_0}{\rho} = \beta \cdot \Delta T_{cp}, \quad (52)$$

где β — коэффициент объемного расширения.

Подставив (52) в (51), получим критерий Грасгофа.

Учитывая (45)–(52), получаем критериальную зависимость вида:

$$\lambda = f(Re; Pr; Cr; X; Y; Z; \Theta; Bi; Ki; M) \quad (53)$$

Соотношение (53) находится в соответствии с π -теоремой, согласно которой число критериев комплексов равно

$$n - k = 13 - 10 = 3.$$

Число критериев симплексов

$$N - n = 21 - 13 = 8.$$

Здесь N — общее число величин, входящих в выражения (36), (37), (38), (39).

n — общее число масштабов с неодинаковыми размерностями,

k — число масштабов с независимыми размерностями.

1. Так как движение воздуха в порах не вынужденное, то Re выпадает [18].

2. Так как $\lambda_{\text{эфф}}$ не зависит от координат, а является параметром всей массы материала, то X ; Y и Z выпадают.

3. Так как считаем, что интервал температур небольшой и коэффициент теплопроводности, следовательно, от T не зависит, то Θ выпадает.

4. Так как $Bi = f(\alpha_\kappa)$, а $\alpha_\kappa = f(Cr \cdot Pr)$, следовательно и $Bi = f(Cr \cdot Pr)$, то есть Bi так же выпадает.

5. Так как поры заполняет воздух, а для воздуха Pr имеет вполне определенные значения, то критерий Pr так же выпадает и тогда выражение (53) примет вид:

$$\Lambda = f(Cr; Ki; m) \quad (54)$$

Полученная таким образом критериальная зависимость имеет тот же вид, что и зависимость (34).

Как зависимость (34), так и зависимости, данные другими авторами, дают некоторые отклонения от данных эксперимента. Смотри (фиг. 7).

1 — экспериментальная кривая Кауфмана, 2 — кривая, подсчитанная по формуле Русселя, 3 — кривая, подсчитанная по уравнению (34), 4 — кривая, подсчитанная по формуле Эйкена, 5 — кривая, подсчитанная по формуле Рибо.

Как показали расчеты, член $(\lambda_{y_{cl,cr}} + \lambda_{y_{cl,cr}}^*)L \cdot m^{2/3}$ уравнения (34) мал по сравнению с членом $\lambda_0 (1 - Lm^{2/3})$. Эквидистантное отклонение кривой 3 от кривой 1, обусловлено величиной $\lambda_0 (1 - Lm^{2/3})$, то есть, долей тепла, проходящего через остов пористого материала. Для выяснения величины этого отклонения были проведены эксперименты на электрической модели [19], [20].

Отыскав на электрической модели поверхности или линии равного потенциала, мы смогли найти температурное поле образца и выяснить характер движения теплового потока. Учитывая связь (33) между объемной и плоской пористостью, мы провели первую серию опытов на плоской электрической модели [21], [22].

Опытная установка, изображенная на (фиг. 8), представляла из себя следующее:

Лист алюминиевой фольги 1, толщиной $\delta = 0,0015$ мм наклеивался парафином на проваренный в парафине лист ватмана 2 размером 300×420 мм, вставлялся между двумя массивными шинами 3 и при-

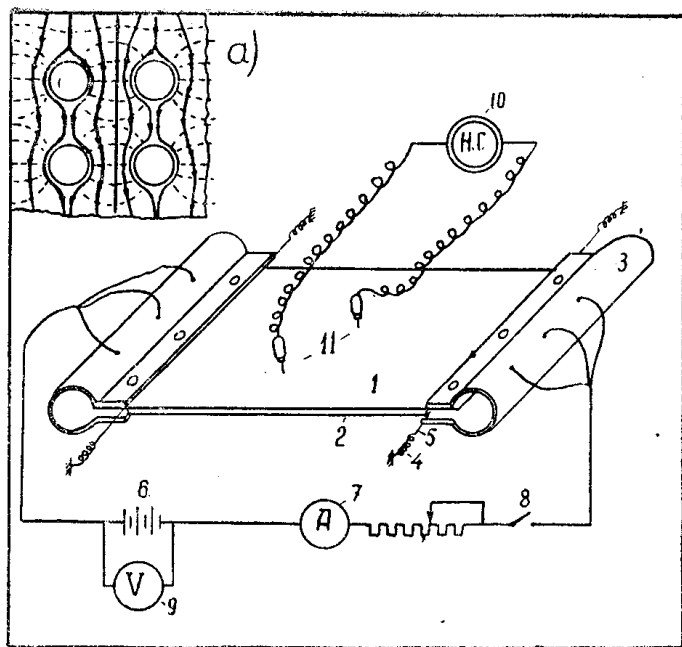
тягивался вместе с шинами болтами к специальной доске. Для получения надежного контакта между фольгой и шинами прокладывалась растянутая двумя пружинками 4 тонкая медная проволочка 5. Электрическая схема состояла из батареи 6, амперметра 7, однополюсного рубильника 8 и вольтметра 9. Каждый лист фольги прежде всего проверялся на однородность при помощи нульгальванометра 10 с постоянной $C = 1,8 \cdot 10^{-9}$ и двух щупов 11. Затем на листе фольги нарезались отверстия различной формы, укладки и снова снимались эквипотенциальные линии.

Вид этих линий для круглых пор при квадратной укладке приведен на фиг. 8 а. Как видно из нее, тепловой поток, огибая поры, проходит путь больший, чем длина образца, площадь же поперечного сечения, через которое проходит основная масса теплового потока, значительно меньше площади образца.

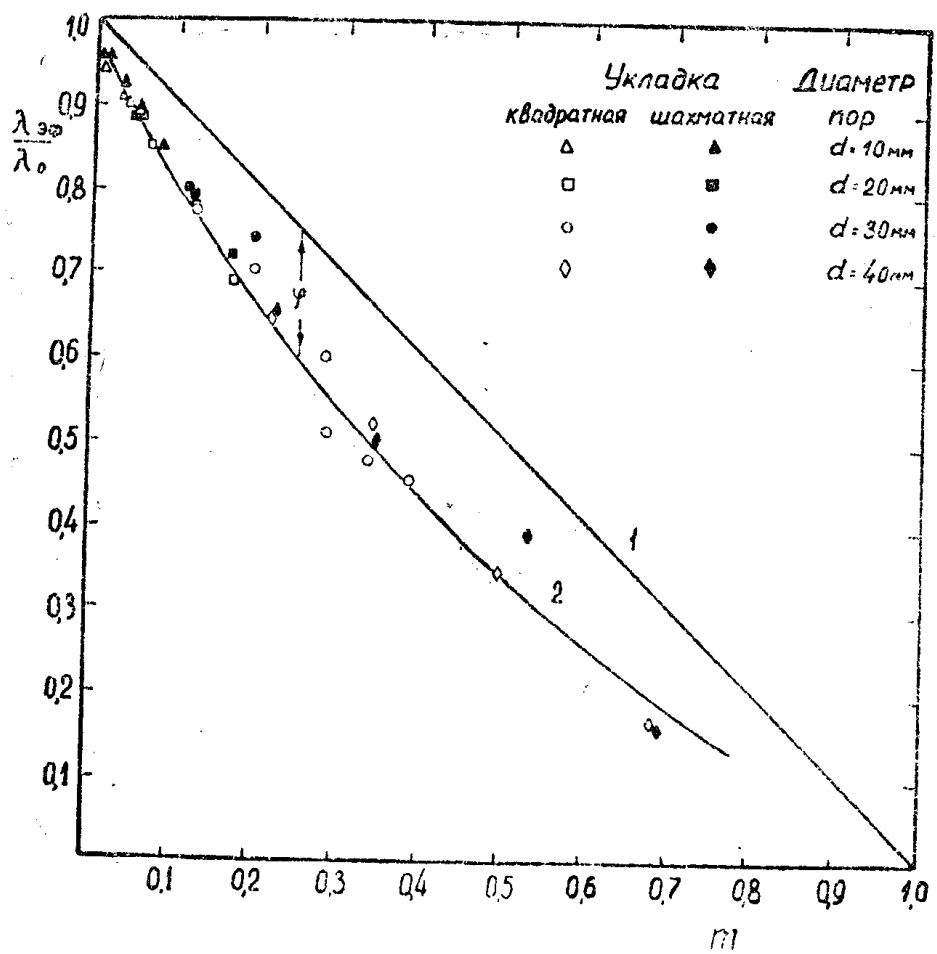
Из выражения (17) при условии, что теплопроводностью поры можно пренебречь, имеем:

$$\frac{\lambda_{eff}}{\lambda_0} = (1 - m_{pl}). \quad (55)$$

Выражение в правой части уравнения (55) представляет собой долю остова пористого тела, теоретически участвующую в передаче тепла.



ФИГ. 8



ФИГ. 9

Однако, как показали эксперименты, не вся доля остава работает с одинаковой тепловой нагрузкой. Поэтому член, стоящий в правой части выражения (55), будет меньше, чем $(1 - m_{nL})$. Для нахождения его величины мы замеряли сопротивление образца целого и с порами на мостовой схеме. Пользуясь электротепловой аналогией, находили отношение $\frac{\lambda_{\text{эфф}}}{\lambda_0}$ и наносили его на график (фиг. 9), где: 1 — прямая $(1 - m_{nL})$, 2 — экспериментальная кривая, найденная на плоской модели.

Можно также использовать кривую, полученную на объемной модели, или найти ее по выражению (33). Очевидно, разница ординат ф будет той поправкой, которая учитывает отклонение потока от прямолинейности и его неравномерное распределение по сечению.

С учетом этого выражения (34) и (35) примут вид:

$$\Lambda = \left[\frac{\lambda_e}{\lambda_o} Ki(Cr \cdot Pr)_f^n + Ki \right] Lm^{2/3} + (1 - Lm^{2/3} - \varphi) \quad (56)$$

$$\lambda_{\text{эфф}} = (\lambda_{y_{cl, cp}}^k + \lambda_{y_{cl, cp}}^x) Lm^{2/3} + \lambda_o (1 - Lm^{2/3} - \varphi) \quad (57)$$

Кривая, рассчитанная по выражению (57), приведена на фиг. 7 под № 6. Как видно из фиг. 7, эта кривая дает близкое совпадение с экспериментальными данными.

ЛИТЕРАТУРА

1. Б. Н. Кауфман — Теплопроводность строительных материалов, Москва, ГИЛСА, 1955.
2. А. Ф. Чудновский — Теплообмен в дисперсных средах, Москва ГИТСЛ, 1954.
3. А. У. Франчук — Теплопроводность строительных материалов в зависимости от влажности, Стройиздат, 1941.
4. Д. Л. Тимрот — Определение теплопроводности строительных и изоляционных материалов, Энергоиздат, 1932.
5. Каммерегер
 - 1) Mitt. Forsch. fur Wärmeschutz, № 4, 1925.
 - 2) Wärme u. Kälteschutz in der Industrie, № 3, 1928.
 - 3) Cesundheits — Ing., № 19 u. 35, 1936.
 - 4) Wärme, № 45, 1936.
 - 5) Wärme u. Kältetechnik, № 9, 1936.
6. I. Francz and W. D. Kingegy — Journ. of the Am. Ceram. Soc., Part II, February, 1954.
7. I. C. Maxwell, A. Treatise — on Electricity and Magnetism, vol. 1, Oxford, 1904.
8. H. W. Russel — Principles of Heat Flow in Porous Insulators, J. Am. Ceram. Soc., 18 [1], 1—5, 1935.
9. A. Eucken — Wärmeleitfähigkeit keramischir feuerfester Stoffe; Berechnung aus der Wärmeleitfähigkeit dtr Bestandteile (Thermal Conductivity of Ceramic Refractory Materials; Calculation from Thermal Conductivity of Constituents), Forsch. Gebiete Ingenieurw. B. 3, Forschungsheft, N 353, 16 p. р. 1932.
10. Д. Ф. Старостин — Отопление и вентиляция, № 3, 1935.
11. Г. П. Иванцов — Теплотехника слитка и печей, Металлургиздат, 1952.
12. А. М. Давидсон — Северокавказский горно-металлургический институт, выпуск II, 1931—1951. Юбилейный сборник научных трудов, г. Орджоникидзе, 1954.
13. A. L. Loeb — Journal of the Am. Ceram. Soc., Part II. Feb., 1954.
14. M. Ribaud — Conductibilité thermique des matériaux poreux et pulvérulents etude théorique, Challur et industrie, 18, 36—43, 1937.
15. Д. И. Бояринцев — Журнал технической физики, т. XX, 9, 1950.
16. А. Г. Остроумов — Свободная конвекция в условиях внутренней задачи, ГТИ, 1952.
17. Е. В. Кудрявцев — Известия АН СССР, ОТН, № 1, 1949.
18. М. А. Михеев — Основы теплопередачи, ГЭИ, 1949.
19. Л. И. Гутенмacher — Электрические модели, АН СССР, 1949.
20. Б. С. Петухов — Опытное изучение процессов теплопередачи, Госэнергоиздат, 1952.
21. В. С. Лукошков — Электролитический метод изучения электрических полей, Известия электропромышленности слабого тока, № 10, 1939.
22. Н. И. Дружинин — Метод электродинамических аналогий и его применение при исследовании фильтрации, ГЭИ, 1956.